

Atividade Laboratório de Controle Digital: Projeto de Controlador Polinomial

Bernardo Bresolini*, Ester Q. Alvarenga*

* Centro Federal de Educação Tecnológica de Minas Gerais,
Divinópolis - MG.

1. INTRODUÇÃO

O controle de processos teve o primeiro trabalho significativo ao final do século XVIII, quando o escocês James Watt inventou o regulador centrífugo (*flyball speed governor*), dispositivo mecânico capaz de controlar automaticamente a velocidade de uma máquina a vapor.

Em seguida, diversos trabalhos importantes foram desenvolvidos, desde a modelagem matemática, análise de estabilidade em malha aberta e fechada até o desenvolvimento de controladores PID. Contudo até a época o controle era feito com base em circuitos analógicos e não havia o emprego de microprocessadores.

A partir de 1960, o uso de computadores digitais se tornou presente no projeto e operação de sistemas e processos. Desde então, o emprego de controladores analógicos em processos industriais vem sendo substituídos por controladores digitais.

Sendo assim, o conhecimento em Controle Digital por parte de engenheiros que atuarão na área é requerido devido à presença massiva dos controladores digitais em ambiente industrial. Por isso, o presente relatório apresenta os estudos e implementações da técnica de projeto de controladores digitais via abordagem polinomial.

Para este estudo, fez-se necessário, identificar o processo a ser trabalhado, especificar o desempenho desejado, discretizar o sistema, aplicar a técnica de projeto de controlador, simular o processo de controle e analisar o desempenho da malha fechada.

2. REFERENCIAL TEÓRICO

2.1 Determinação dos polos de malha fechada

Uma técnica comum no projeto de controladores é determinar a posição dos polos na malha fechada de forma com que o sistema performe como desejado. Esta técnica é conhecida como alocação de polos.

Os parâmetros mais comuns para a determinação dos polos de malha fechada são o *overshoot* $OS\%$ e o tempo de acomodação t_s . Para um sistema de segunda ordem, tem-se que

$$OS\% = 100 \exp\left(\frac{-\zeta\pi}{\sqrt{1-\zeta^2}}\right), \quad (1)$$

$$t_s = \frac{4}{\zeta\omega_n} \quad (2)$$

Com os valores de $OS\%$ e t_s especificados, pode-se resolver o sistema com (1) e (2) para encontrar o fator de amortecimento ζ e a frequência natural ω_n . Com os quais encontra-se a posição dos polos desejados no plano z , uma vez que

$$r = e^{-\zeta\omega_n T}, \quad \theta = \omega_n T \sqrt{1-\zeta^2} \quad (3)$$

em que r e θ são as coordenadas polares do polo, tais que $z = r/\theta$, e T é o período de amostragem. O polo desejado p no plano z também pode ser calculado por

$$z = e^{pT}. \quad (4)$$

2.2 Discretização de sistemas contínuos no tempo

O primeiro passo na discretização é garantir um período de amostragem T_s . Dentre outras possibilidades, T_s pode ser escolhido de acordo com a especificação do tempo de acomodação da malha fechada ou em termos da constante de tempo dominante do sistema:

- Assuma que o processo tenha uma constante de tempo dominante τ_{dom} , então o período de amostragem, T_s deve satisfazer $T_s = \tau_{dom}/10$ para o sistema em malha aberta. Um cuidado a ser tomado é que, ao fechar a malha do sistema, a dinâmica do sistema em malha fechada não seja muito mais rápida que o sistema em malha aberta. Caso contrário, o período de amostragem se tornará grande para o sistema
- Assuma que o processo seja requisitado a um processo em malha fechada ter um tempo de acomodação t_s , ou uma frequência natural ω_n . Então, para o primeiro caso escolhe-se $T_s = t_s/10$. No segundo caso escolhe-se $\omega_s > 10\omega_n$, em que $\omega_s = 2\pi/T_s$ é a frequência de amostragem.

Para discretizar um sistema, utiliza-se a transformada z , calculada por

$$G(z) = \sum_{\text{polos de } G(\lambda)} \left[\text{resíduos} \frac{1}{\text{de } G(\lambda)} \frac{1}{1 - z^{-1}e^{T_s\lambda}} \right] \quad (5)$$

para um $G(\lambda) = G(s) = ZOH \cdot G_p(s)$, em que $G_p(s)$ é a função transferência a ser discretizada e ZOH é o método de aproximação do segurador de ordem zero.

2.3 Controlador PID

Seja um controlador PID que recebe como entrada o sinal de erro $\epsilon(t)$. A sua saída $u(t)$ será dada por

$$u(t) = K \left(\epsilon(t) + \frac{1}{T_i} \int \epsilon(t) dt + T_d \frac{d\epsilon(t)}{dt} \right) \quad (6)$$

em que K é o parâmetro proporcional, T_i o integral e T_d o derivativo.

A aplicação da transformada de Laplace em (6) retorna

$$U(s) = K \left(E(s) + \frac{E(s)}{T_i s} + E(s) T_d s \right) \quad (7)$$

$$\Rightarrow C(s) = K \left(1 + \frac{1}{T_i s} + T_d s \right) \quad (8)$$

cujas representação em diagrama de blocos é apresentada na FIG. 1.

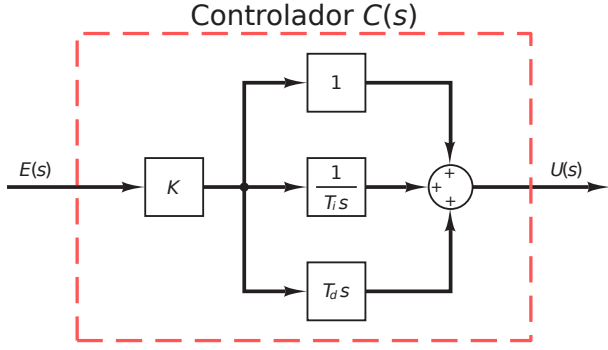


Figura 1. Diagrama de blocos de um Controlador PID

Portanto, a transformada z em (7) leva a

$$U(z) = K E(z) \left(1 + \frac{T_s}{T_i} \frac{z}{z-1} + \frac{T_d}{T_s} \frac{z-1}{z} \right) \quad (9)$$

Logo, a função transferência discretizada é

$$C(z) = K \left(\frac{z(z-1) + T_s z^2 / T_i + T_d (z-1)^2 / T_s}{z(z-1)} \right) \quad (10)$$

simplificando obtém-se,

$$C(z) = K \frac{c_2 z^2 + c_1 z + c_0}{z^2 - z} \quad (11)$$

sendo

$$\begin{aligned} c_2 &= T_s / T_i + T_d / T_s + 1 \\ c_1 &= -(2T_d / T_s + 1) \\ c_0 &= T_d / T_s \end{aligned}$$

A equação a diferença de (11) é dada como

$$u[k] = u[k-1] + K(c_2 e[k] + c_1 e[k-1] + c_0 e[k-2]) \quad (12)$$

2.4 Projeto de controlador PID via LGR

Dado um sistema $G(s)$ como

$$G(s) = K_G \frac{\prod_{i=0}^n (s - z_i)}{\prod_{j=0}^m (s - p_j)}, \quad n < m \quad (13)$$

cujos interesse é que em malha fechada se tenha características dadas pelo par de polos dominantes

$$p = \zeta \omega_n \pm j \omega_n \sqrt{1 - \zeta^2} \quad (14)$$

no qual ζ e ω_n são, respectivamente, o coeficiente amortecimento e a frequência natural do sistema.

Para alocar os polos de $G(s)$ em p o sistema é controlado por $KC(s)$ como mostra a FIG. 2. Nesta topologia $C(s)$

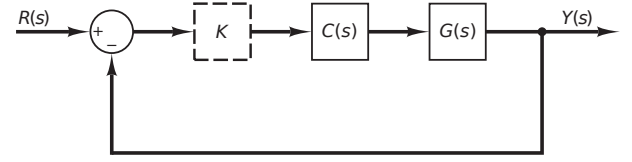


Figura 2. Topologia do controlador PID pelo método LGR irá alterar o traçado do LGR para que ele passe em p e K é o ganho que leva a malha fechada para tal lugar.

A malha fechada da FIG. 2 é dada por

$$H(s) = \frac{Y(s)}{R(s)} = \frac{KC(s)G(s)}{KC(s)G(s) + 1} \quad (15)$$

As raízes de $H(s)$ então satisfazem a

$$|KC(s)G(s)| = 1, \quad \angle KC(s)G(s) = \pm(2n+1)\pi \quad (16)$$

para $n = 0, 1, \dots$

Como K é apenas um ganho, ele não altera na fase¹. Por consequência, o compensador $C(s)$ é determinado pelo critério do ângulo.

Para que o controlador seja projetado seja PID ideal, sua estrutura é dada por

$$C(s) = \frac{(s + z_{pd})(s + z_{pi})}{s} \quad (17)$$

sendo z_{pd} responsável pela ação proporcional-derivativa e z_{pi} pela ação proporcional-integral.

A contribuição angular α de $G(s)$ com relação a p é encontrada por

$$\alpha = \sum_{i=0}^n \theta_i \Big|_{s=z_i} - \sum_{j=0}^m \phi_j \Big|_{s=p_i} \quad (18)$$

em que os ângulos θ e ϕ é a inclinação entre o segmento que leva o zero/polo até p , medido em sentido anti-horário com o eixo das abscissas.

Assim, a defasagem angular β a ser compensada por $C(s)$ é

$$\beta = \pm\pi - \alpha. \quad (19)$$

Se a defasagem angular for compensada somente por z_{pd} , então aplicando trigonometria tem-se

$$z_{pd} = -\zeta \omega_n - \frac{\omega_n \sqrt{1 - \zeta^2}}{\tan \beta} \quad (20)$$

O zero da ação PI deve ser colocado perto de 0 para que ele atraia o polo do integrador em 0 e o efeito deles se anulem a medida que K cresce.

Determinando $C(s)$, o ganho K é encontrado pelo critério do módulo como

$$K = \frac{1}{|C(s)G(s)|_{s=p}} \quad (21)$$

3. METODOLOGIA

O sistema para o qual será projetado o controlador digital via abordagem polinomial consiste no controle de posição

¹ De fato, o ganho pode contribuir com $\pm\pi$ no ângulo, dependendo do seu sinal. Contudo a condição angular é de $\pm\pi$ e assim o impacto prático de K é nulo. Ainda assim, no traçado do LGR, considera-se o intervalo $(0, \infty)$.

em um esquema de mixagem de vídeo. Este controle está incluso no processo descrito a seguir. Será relatado também como se poderá obter as dinâmicas envolvidas no processo, bem como o que deve ser feito até que se possa projetar o controlador digital e o passo a passo para se projetar o controlador.

3.1 Descrição do problema

Na indústria cinematográfica é comum com que algumas cenas exijam planos de fundos inviáveis para a gravação no estúdio. Uma das soluções é utilizar um sistema duplo de câmera, em que a primeira filma o ator e a segunda o plano de fundo em maquete. Então, a imagem de ambas as câmeras serão unidas e formarão as cenas do filme.

Contudo, é preciso fazer com que a segunda câmera siga o movimento da primeira. Portanto, um sistema como o apresentado na FIG. 3 é requerido. A relação entre a movimentação do ator e o deslocamento da câmera 2 não é unitária e portanto, foi utilizado um conversor.

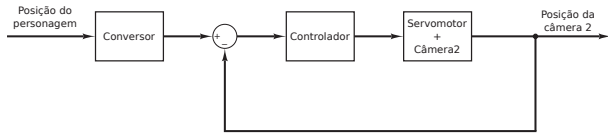


Figura 3. Esquemático do processo a ser controlado

3.2 Identificação dos processos

Sabendo que a amplitude de deslocamento da câmera 2 é de ± 1 m, com origem no meio do cenário de fundo e que a amplitude de movimento do ator é de $\pm 1,5$ m com origem no meio da sala, é possível calcular a dinâmica do conversor.

A função de transferência do processo (movimentação do servo motor e câmera 2), poderá ser identificada pela FIG. 4 que mostra a variação temporal da posição da 2ª câmera para uma tensão de entrada de 3 V. Sabendo também que se a tensão for positiva, a câmera se moverá para a direita da imagem de fundo; se for negativa, ela se moverá para a esquerda.

3.3 Discretização

Utilizando a linguagem de programação python 3, os sistemas identificados podem ser discretizados por meio da função `control.matlab.c2d()`, uma vez definido o período de amostragem T_s de acordo com a Seção 2.2 e o método de aproximação que será utilizado.

3.4 Projeto do controlador PID via LGR

Adotando a topologia de controle mostrada na FIG. 2, o projeto de um controlador PID para dado processo $G(s)$ é feito fazendo:

1. determinar a localização do par de polos dominantes p com base nos critérios de desempenho requeridos;
2. calcular a contribuição angular α de $G(s)$ com relação a p como apresentado em (18);
3. determinar a posição de z_{pd} que satisfaça a (20).

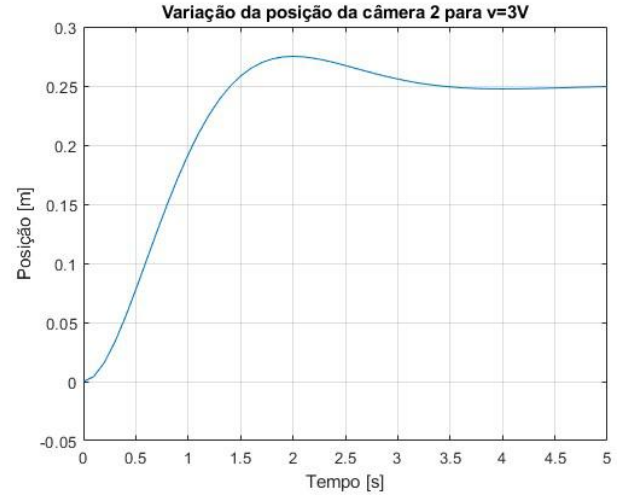


Figura 4. Variação temporal da posição em metros da câmera 2 para uma tensão de 3 V

4. escolher a posição de z_{pi} próximo de 0 para que à medida que K cresce o polo do integrador, em 0, tenda a z_{pi} , tornando a contribuição angular deste dois quase nula.
5. determine o ganho K pela regra do módulo, resolvendo (21).

4. RESULTADOS E DISCUSSÃO

4.1 Identificação dos sistemas e dinâmicas

Esta subseção apresenta os resultados da identificação dos sistemas e dinâmicas envolvidas no processo a ser controlado, apresentado na FIG. 3.

O conversor representa entre a relação entre a posição do personagem e a posição da câmera 2, equacionada por

$$y = \frac{2}{3}x \quad (22)$$

para x sendo a posição do personagem e y a posição da câmera. Em termos de função transferência (razão da saída sobre a entrada) o conversor se torna,

$$\frac{x}{y} = \frac{2}{3} \quad (23)$$

Dinâmica do servomotor A identificação da dinâmica do servomotor da resposta apresentada na FIG. 4 resulta em

$$G(s) = \frac{0,3161}{s^2 + 2,303s + 3,793} \left[\frac{\text{m}}{\text{V}} \right] \quad (24)$$

cujas resposta temporal é apresentada na FIG. 5. O perfil da curva mostrada é similar a resposta exposta na FIG. 4, validando a identificação obtida.

4.2 Discretização

Como a dinâmica de malha fechada requisitada é muito maior que a dinâmica do sistema, escolheu-se o período de amostragem T_s a partir da especificação do tempo de acomodação $t_s = 100$ ms,

$$T_s = \frac{100 \times 10^{-3}}{10} = 0,01 \text{ s.} \quad (25)$$

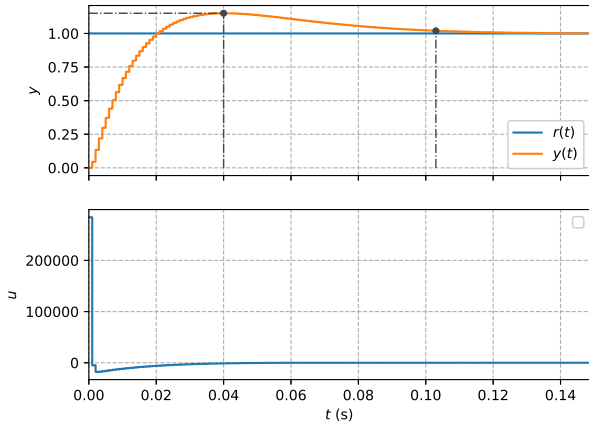


Figura 8. Resposta da malha fechada do controlador PID projetado via LGR

Simulou-se o movimento linear do ator da direita para esquerda de 0,5 m a cada 10 segundos. Ao chegar ao final da sala, o ator parou por 20 segundos e então retomou o movimento na direção oposta. Estes movimentos geraram a sequência de degraus apresentadas no primeiro *subplot* da FIG. 9. Multiplicando este sinal por (23) (função de transferência que representa o conversor), obtém-se a posição da câmera 2, mostrada também no primeiro *subplot* da FIG. 9.

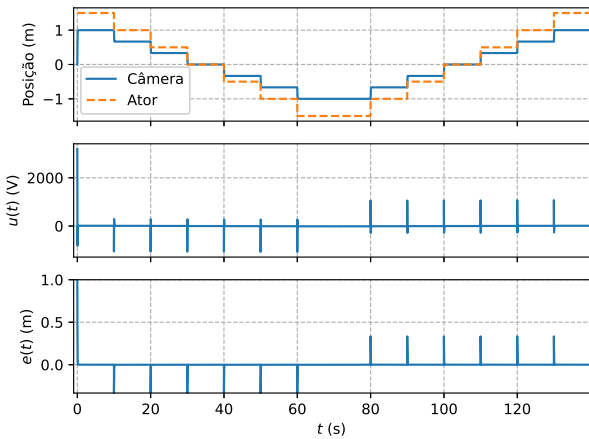


Figura 9. Simulação do processo

A posição da câmera é utilizada como referência no processo, o que gera o sinal de controle apresentado no segundo *subplot* da FIG. 9 e o sinal de erro ao longo do tempo, mostrado no terceiro *subplot* da FIG. 9.

O sinal de controle do sistema obteve picos elevados nos momentos de variação da referência e depois estabilizando em um valor na ordem de ± 10 V. O pico do sinal de controle durante o período transitório indica que para reduzir a acomodação do sistema de 3,5 s para 0,1 s, o controlador projetado se tornou bastante agressivo, necessitando de muita energia para alterar tanto a dinâmica do sistema. Isto indica que os critérios requeridos são inadequados para tal o equipamento usado e devem ser revistos antes da implementação prática.

Vale ressaltar que a identificação da dinâmica do servomotor foi feita para um degrau de 3 V e logo uma aplicação na

ordem de 3000 V facilmente foge da dinâmica especificada. Além disso, um sinal nesta magnitude provavelmente seria inviável praticamente ou queimaria o atuador do sistema.

A malha fechada projetado apresentou erro de estado estacionário nulo, como se verifica no terceiro gráfico da FIG. 9. Houveram apenas picos durante o momento de transição que rapidamente foram anulados pela ação do controlador projetado.

5. CONSIDERAÇÕES FINAIS

Para o processo de filmagem apresentado foi elaborado uma malha de controle que transforma a posição do ator em um sinal de referência para a câmera 2 que é atuada por um servomotor. Assim, foi projetado e validado um controlador digital com base nas informações do processo obtidas.

O controlador projetado obteve uma performance suficientemente próxima das especificações passadas com pequenos desvios devido a presença dos polos ou zeros do controlador na malha fechada, dependendo da topologia adotada. A performance do controlador na realimentação foi melhor pois o zero da malha fechada é o polo do controlador que esteve bem afastado dos polos dominantes.

Sendo assim, a simulação da movimentação do ator foi feita utilizando o controlador na realimentação, ao qual se observou que os critérios estipulados foram cumpridos. O erro em regime permanente foi nulo, o tempo de acomodação e o sobressinal estiveram na faixa estipulada.

Contudo, observou-se que a alteração da dinâmica de malha aberta de $t_s \approx 3,5$ s para $t_s \approx 0,1$ s foi muito agressiva e fez com que o sinal de controle saísse em muito dos limites físicos do processo. Portanto, para a realização prática o controlador projetado não poderia ser implementado. A sugestão é que se altere o servomotor usado para um que tenha uma dinâmica de malha aberta mais rápida.

REFERÊNCIAS